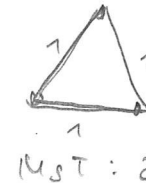


Anwendungen  $V(S)$ :

Es kann "kürzere" Bäume als MST geben, die zusätzliche "Steiner" Punkte verwenden.

$$V(S) \xrightarrow{O(n)} \text{MST}(S)$$

Bsp-

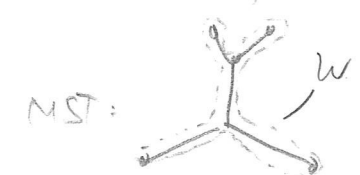


Anwendung MST: Travelling Salesperson im  $\mathbb{R}^2$   
Gegeben: Menge  $S$  von  $n$  Punkten  
Gesucht: Kürzeste Rundtour OPT durch  $S$   
NP-hart

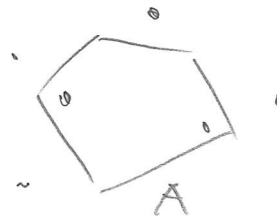
Approximation: Sei  $e$  Kante von OPT  $\Rightarrow$  OPT,  $\{e\}$  Kette, die  $S$  verbindet,  
also auch ein Baum

$$\Rightarrow |\text{MST}(S)| \leq |\text{OPT}(S) \setminus \{e\}| < |\text{OPT}(S)| - 2 |\text{OPT}(S)|$$

$$\Rightarrow W = 2 |\text{MST}(S)|$$



### 5.3.4 Größter Kreis



Gegeben: Konvexes Polygon  $A$ , m Rändern

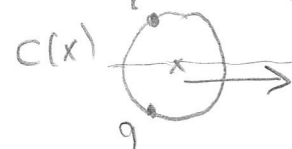
$S$ : Menge von "Störquellen",  $n$  Stück

Gesucht: Punkt  $x \in A$  mit maximalem Abstand  
zu den Punkten in  $S$   
 $\hat{=}$  größter Kreis mit Zentrum  $x \in A$

Starte mit  $x \in A$ , vergrößere Kreis  $C(x)$ , bis

- $C(x)$  trifft auf 3 Punkte in  $S$ :  $\Rightarrow x$  Knoten in  $V(S)$

- $C(x)$  trifft auf 2 Punkte in  $S$ :  $\Rightarrow x$  liegt auf Kante von  $V(S)$



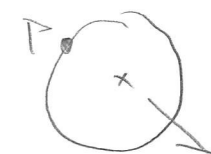
$$B(P, q)$$

bewege  $x$  längs  $B(P, q)$  so, dass  $C(x)$  wächst

bis dritter Punkt  $\in S$  getroffen (s.o.)

sodas bis  $\partial A$  erreicht  $\Rightarrow x$  Schnitt von Voronoi-Kant mit  $\partial A$

- $C(x)$  trifft auf einen Punkt  $p \in S$ : bewege  $x$  so, dass  $C(x)$  wächst, bis



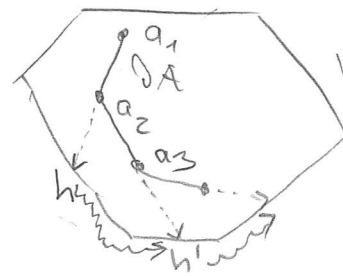
ein weiterer Punkt getroffen (s.o.)

eine Ecke von  $\partial A$  erreicht  $\Rightarrow x$  ist Ecke von  $\partial A$

Ausarbeiten: inspiriere diese Kandidaten:  
bestimme für jeden den Abstand  
zur nächstgelegenen Störquelle  
wähle das Maximum

Technik "Verfolge Rand von A durch das Verfoldigramm  $V(S)$ "

Initialisierung: Bestimme für einen Eckpunkt  $a_1$  von A die Region  $VR(p, S)$ , in der sie liegt. brute force:  $O(n)$



$VR(p, S)$

berechne den Treffer  $h$  vom Strahl von  $a_1$  durch  $a_2$   
auf  $\partial VR(p, S)$  brute force: alle Ränder von  $VR(p, S)$   
abseiten  $O(n)$

1. Fall:  $h$  liegt hinter  $a_2$ :

berechne Treffer  $h'$  vom Strahl von  $a_2$  durch  $a_3$   
auf  $\partial VR(p, S)$  laufe von  $h$  aus entlang  $\partial VR(p, S)$  entlang,  
bis  $h'$  gefunden  
usw., falls 1. Fall sich wiederhol.

Verwendet: A konvex

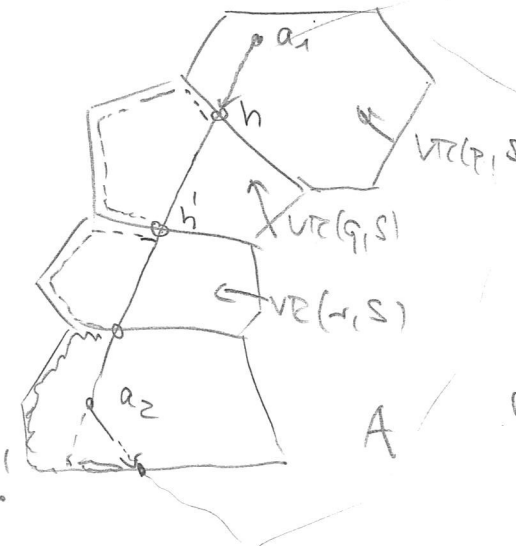
Aly Geo 18.3

2. Fall:  $h$  liegt vor  $a_2$ :

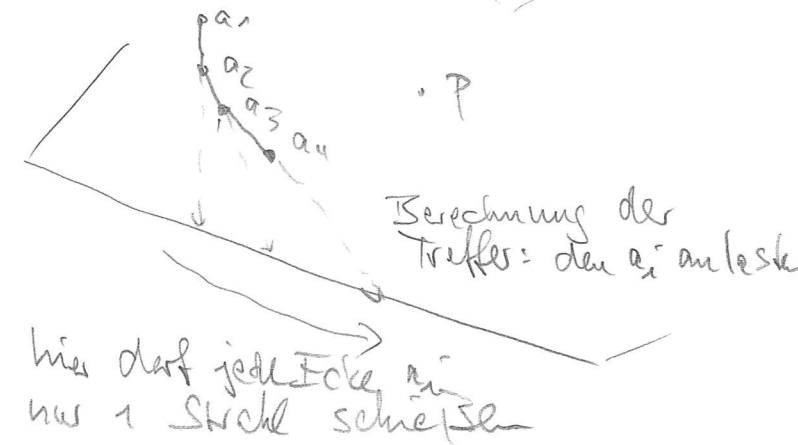
Schnit nach Treffpunkten  
der Strahlen:

gegen den Uhrzeigersinn  
auf den Rändern des  
Voronoi-Triplets

Dabei wird kein  
Randstück zweimal durchlaufen.



A / Planar wie oben



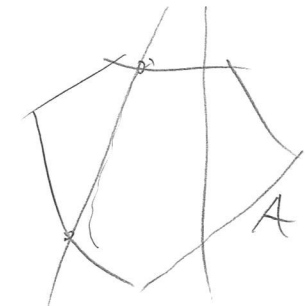
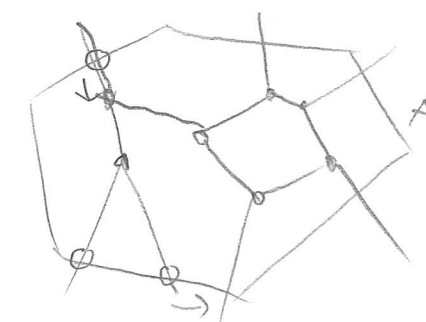
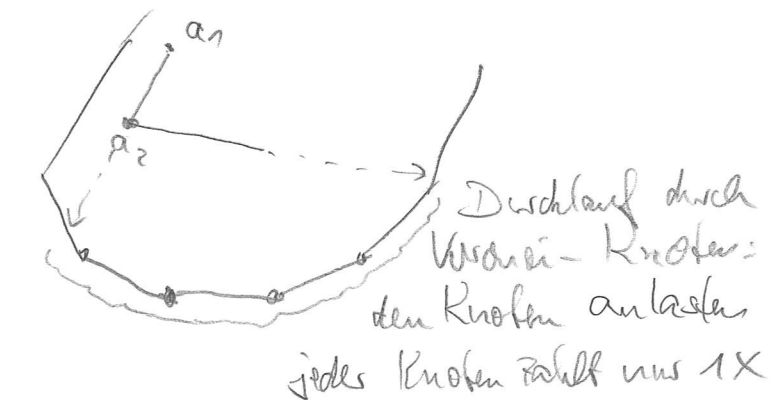
Theorem 5.14

Zentrum des größten kleinen Kreises im konvexen Polygon  $A$  mit  $m$  Ecken  
in Anwesenheit von  $n$  Punkten  $S$ : Aus  $V(S)$  in Zeit  $O(n+m)$ .

blieb Nachtrag: Testen aller Voronoi-Knoten in  $A$  ✓

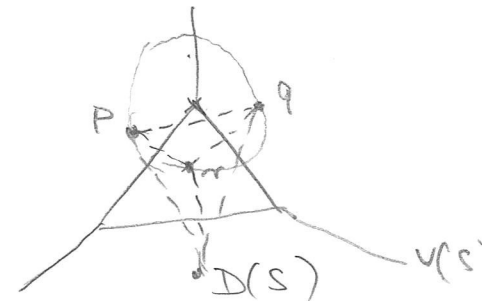
c)  
DA wechselt in  $h$  von  $VR(p, S)$   
in  $VR(q, S)$

berechne Treffer  $h'$  vom Strahl von  $a_3$  durch  $a_2$   
wie  $\exists VR(q, S)$ ,  
usw. bis Ecke  $a_2$  gefunden;



AlyGeo 18.4  
Delaunay-Triangulation  $D(S)$        $S$  in allgemeiner Lage  $\Rightarrow$  alle Voronoi-Knoten in  $V(S)$  haben Grad 3

Def  $D(S) := V(S)^*$



$$V(S) \xleftarrow{O(n)} D(S)$$

Thm 5.11  $MST(S) \subset D(S)$

$p, q, r$  bilden ein Dreieck von  $D(S)$   $\Leftrightarrow$  Umkreis von  $p, q, r$  enthält keinen Punkt aus  $S$ .  
denn Randum vom Umkreis ist Voronoi-Knoten von  $V(S)$

$p, q$  bilden Kante von  $D(S)$   $\Leftrightarrow$  es gibt einen Kreis durch  $p$  und  $q$ , der keinem anderen Punkt von  $S$  enthält.

Allgemein: Triangulation einer Punktmenge  $S$ : Maximale Menge sich nicht kreuzender Liniensegmente mit Endpunkten in  $S$ . Die Kanten von  $ch(S)$  sind immer dabei!

Ü/Lemma: Sei  $r := \#$  Kanten von  $ch(S)$ . Dann hat jede Triangulation von  $S$  genau  $2(n-1) - r$  viele Dreiecke.



Bew:

$$\text{Euler: } \frac{v}{n} - e + f = 2 \quad \Rightarrow \quad e = n + (f-1) - 1$$

$$\cancel{\# \text{ Dreiecke}} = 2e - r = 2n + 2(f-1) - 2 - r$$

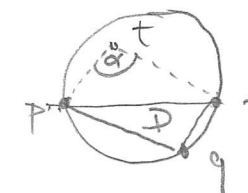
$$\Rightarrow f-1 = 2n - 2 - r$$

AlyGeo 18.5  
 Sei  $T$  Triangulation von  $S$ ,  $w(T) = (\alpha_1, \alpha_2, \dots, \alpha_{3d})$ ,  $d = \# \text{ Dreiecke}$ , sei die aufsteigend sortierte Folge aller Winkel in  $T$  ②

Theorem:  $w(D(S))$  maximal bezüglich der lexicografischen Ordnung auf den  $w(T)$

Beweis Sei  $T \neq D(S)$  eine Triangulation von  $S$ . Wir zeigen: Man kann  $T$  in Triangulation  $T'$  überführen mit  $w(T) < w(T')$ .

Sei  $T \neq D(S) \Rightarrow$  es gibt Dreieck  $D = \text{tri}(p, q, r)$



mit Punkt  $t$  im Innern

Sei  $\alpha$  der Winkel, unter dem "seine" Kante von  $D$  steht; unter allen diesen Konfigurationen sei  $(D, t)$  eine mit maximalem Winkel  $\alpha$ .

Klar:  $pr$  ist keine Kante von  $\text{ch}(S)$  (wegen  $t$  und  $q$ ). Beh:  $\text{tri}(prt)$  ist auch ein Dreieck von  $T$ !

Bew: Sonst gibt es  $s$  oberhalb von  $pr$  mit  $\text{tri}(prs)$  gehörend zu  $t$ .

$$\alpha \text{ maximal} \Rightarrow s \notin C(p, r, t)$$

$$\Rightarrow t \in C(p, r, s)$$



dann Sonst sieht  $s$  eine Seite von  $\text{tri}(p, r, t)$  im Winkel  $> \alpha$

$\Rightarrow t$  sieht  $ps$  oder  $sr$  unter Winkel  $> \alpha$  und liegt im Innern von  $\text{tri}(prs) \in T$  ↓ Maximalität von  $\alpha$ . Beh

Schließe Straß von  $q$  durch  $t$  zum Punkt  $\tilde{t}$  auf  $C(p, q, r)$ : betrachte die eingeschlossenen Winkel.

1.) Gleich benannte Winkel sind gleich

$$2.) \alpha_1 > \beta_1, \alpha_2 > \beta_2, \alpha_3 < \beta_3, \alpha_4 < \beta_4$$

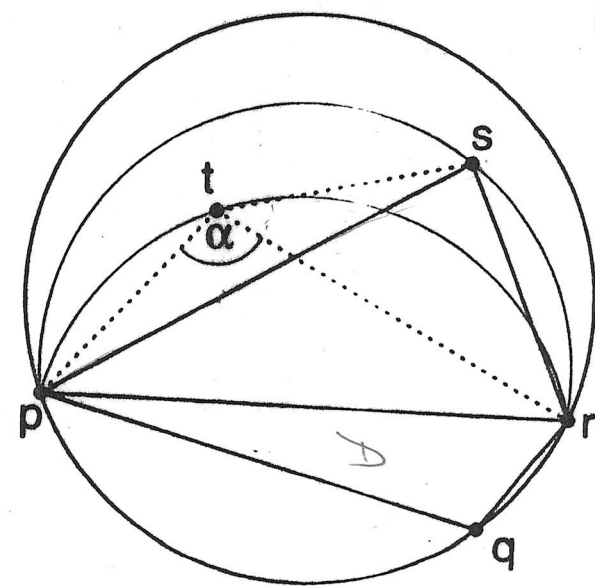
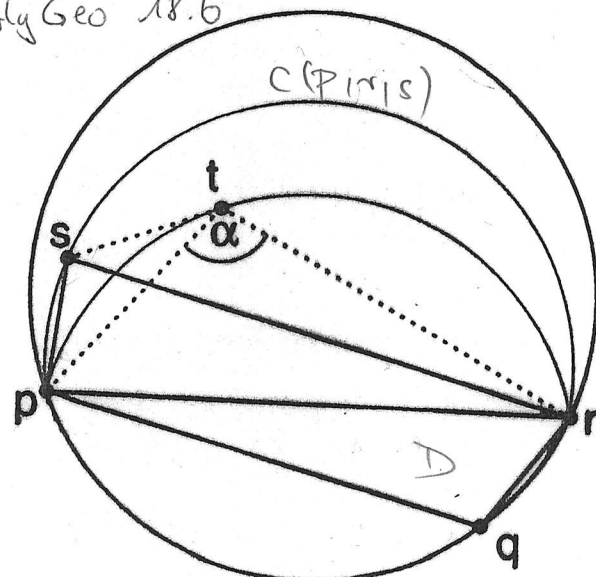


Abbildung 5.17: Der Winkel zwischen  $ts$  und  $tr$  bzw. zwischen  $tp$  und  $ts$  ist größer als  $\alpha$ .

Jetzt:  $T \xrightarrow{\text{edge flip}} T'$  wechsle Kante pr durch qt

(89)

(9)

## Kapitel 5 Distanzprobleme

Jeder neue Winkel ist größer als ein alter!

$\Rightarrow$  jeder neue Winkel ist größer als das Minimum der alten Winkel

$\Rightarrow$  Minimum wird größer!

Vorher:  $\beta_1, \alpha_3, \alpha_1 + \alpha_2, \alpha_4, \beta_2, \beta_3 + \beta_4$

nachher:  $\beta_1 + \alpha_3, \alpha_2, \alpha_1, \alpha_4 + \beta_2, \beta_3, \beta_4$

Theorem

Je zwei Triangul. von S gehen durch edge flips aneinander heran!

